

# تأثیر شرایط مرزی در کمانش مخازن استوانه‌بی فولادی با ضخامت متغیر تحت نشست موضعی

سینا ناصوینا (دانشجوی دکتری)

حسین شوکتی<sup>\*</sup> (استاد)

دانشکده‌ی فنی و هندسی، گروه هندسی عمران، دانشگاه ارومیه

استفاده از سازه‌های جدار نازک به دلیل وزن کم و مقاومت بالای آنها، مقبولیت بالای دارد. به منظور کاهش وزن و قیمت، مخازن با ضخامت متغیر در ارتفاع خود ساخته می‌شوند. نشست فونداسیون در زیر دیواره‌های مخزن به سبب ویژگی خاک رخ می‌دهد، که به ۳ مؤلفه‌ی نشست: یکنواخت، تیلت و موضعی تقسیم می‌شود. در این بین، نشست موضعی بیشترین تأثیر را در پوسته‌ی مخزن دارد، که سبب جایه‌جایی‌های شعاعی بزرگ، کمانش پوسته، و حتی گسیختگی مخزن می‌شود. در پژوهش حاضر ۱۷ عدد مخزن استوانه‌بی فولادی به روش عددی در نرم‌افزار آباکوس مدل‌سازی شدند و تحت نشست موضعی قرار گرفتند و مقادیر نشست، بار معادل کمانشی و تغییرشکل شعاعی آنها مقایسه شد. نتایج آنالیز غیرخطی حاکی از رفتار مناسب و مقبول مخازن با ضخامت متغیر در قیاس با نمونه‌های با ضخامت ثابت بوده و همچنین حلقه‌ی سخت‌کننده، آثار مشتبی در رفتار کمانشی مخازن مذکور داشته است.

**واژگان کلیدی:** ضخامت متغیر، مخازن استوانه‌بی، نرم‌افزار اجزاء محدود، نشست موضعی، حلقه‌ی سخت‌کننده.

s.nassernia@urmia.ac.ir  
h.showkati@urmia.ac.ir

## ۱. مقدمه و تاریخچه‌ی پژوهش

### ۲. پیشینه‌ی پژوهش

به سبب اهمیت بالا و نقش حیاتی مخازن ذخیره، تکنون پژوهش‌های مختلفی در موضوع مخازن استوانه‌بی جدار نازک فولادی صورت پذیرفته است. استفاده از روابط تئوریک جهت تحلیل پوسته‌های استوانه‌بی، یکی از ابتدایی‌ترین و مهم‌ترین اقدام‌ها در این راستاست. در خصوص مباحث تئوریک در فرمول‌بندی و تحلیل سازه‌های پوسته‌ی جدار نازک ذکر شده، یکی از نخستین معادلات غیرخطی تعادل برای مخازن استوانه‌بی با ضخامت‌های ثابت به صورت مجموعه روابط<sup>[۱]</sup> ارائه شده است، که در حال حاضر نیز به سبب جواب‌هایی با دقت مناسب استفاده می‌شوند.

$$\begin{aligned} N_x &= \int_{-h/2}^{h/2} \bar{\sigma}_x (1 + z/a) dz & N_\theta &= \int_{-h/2}^{h/2} \bar{\sigma}_\theta dz \\ N_{x\theta} &= \int_{-h/2}^{h/2} \bar{\tau}_{x\theta} (1 + z/a) dz & N_{\theta x} &= \int_{-h/2}^{h/2} \bar{\tau}_{\theta x} dz \\ Q_\theta &= \int_{-h/2}^{h/2} \bar{\tau}_{\theta z} dz & Q_x &= \int_{-h/2}^{h/2} \bar{\tau}_{xz} (1 + z/a) dz \end{aligned}$$

مخازن استوانه‌بی فولادی به عنوان پوسته‌هایی تعریف می‌شوند که ضخامت بسیار انذک در مقایسه با دو بُعد دیگر دارند و از این رو در زمره‌ی سازه‌های جدار نازک و با ویژگی‌های مخصوص قرار می‌گیرند. معمولاً ساخت مخازن به صورت ضخامت متغیر در ارتفاع صورت می‌پذیرد. دلیل این امر رعایت موارد اقتصادی و همچنین کاهش وزن مؤثر سازه است. کاهش وزن سازه، پارامتر مثبتی در طراحی محسوب و سبب کاهش هزینه‌ی ساخت می‌شود. یکی از پذیره‌های بسیار مهم، که در مخازن فولادی رخ می‌دهد، نشست است. نشست موضعی زیر دیواره‌ی مخازن به سبب ویژگی‌های خاص خاک زیر آن رخ می‌دهد. این پذیره می‌تواند در تغییرشکل‌ها و نحوه‌ی کمانش پوسته‌ی مخزن فولادی تأثیر عمده‌ی بگذارد. شکل هندسی مخزن استوانه‌بی، نسبت‌های هندسی و شرایط مرزی مختلف در آن، رفتار کلی سازه را تحت الشاعع قرار می‌دهد. در پژوهش حاضر، تأثیر تغییرات ابعادی و شرایط مرزی در رفتار کمانشی مخازن استوانه‌بی فولادی با ضخامت ثابت و متغیر تحت اثر نشست موضعی بررسی شده است. در شکل ۱، نمونه‌ی از مخزن استوانه‌بی فولادی، که روی زمین و پی‌بنی قرار گرفته است، مشاهده می‌شود.

\* نویسنده مسئول

تاریخ: دریافت ۱۳۹۹/۱۰/۱۳، اصلاحیه ۱/۱۴، پذیرش ۲/۴/۱۴۰۰. DOI:10.24200/J30.2021.57229.2895

و کاتو<sup>۵</sup> (۲۰۱۰)، مقاومت کمانشی مخازن استوانه‌بی فولادی را تحت نشسته‌های هارمونیک بررسی کردند و اظهار داشتند که مسیر تعادل برای مخازن تحت نشست هارمونیک، رفتار کاملاً غیرخطی دارد و از اصل جمع آثار قوا در خصوص آن نمی‌توان بهره برد.

در مطالعه‌ی دیگری، زائو و همکارانش<sup>[۱۰]</sup> آنالیز پایداری مخازن فولادی با سقف متجرک را تحت نشسته‌های موضعی بررسی کردند و در سال ۲۰۱۳<sup>[۱۱]</sup> نیز در بررسی کمانش مخازن فولادی تحت نشست موضعی دریافتند که مؤلفه‌های نشست در مخازن فولادی به دو دسته مؤلفه‌ی نشست کلی و موضعی تقسیم می‌شوند.

گانگ<sup>۶</sup> و همکاران (۲۰۱۳)<sup>[۱۲]</sup> آثار حلقه‌ی سختکننده را در مخازن بدون سقف تحت نشسته‌های هارمونیک بررسی کردند. زائو و همکارانش<sup>[۱۳]</sup> (۲۰۱۳) نیز رفتار کمانشی در مخازن فولادی را تحت نشسته‌های موضعی بررسی کردند و توصیه‌هایی را جهت طراحی هر چه بهتر مخازن مذکور ارائه دادند. چن و همکارانش<sup>[۱۴]</sup> (۲۰۱۵) نیز روش برآش منحنی<sup>۷</sup> را جهت اندازه‌گیری نشست مخازن ذخیره بررسی کردند.

به منظور استفاده‌ی بهینه از مصالح و پایان آوردن وزن و قیمت تمام شده سازه، مخازن فولادی استوانه‌بی می‌توانند با ضخامت متغیر در ارتفاع خود ساخته شوند. مطالعات انجام پذیرفته در این خصوص محدود است و نیاز به مطالعات بیشتری در این بخش احساس می‌شود. لذا در سال ۲۰۱۶<sup>[۱۵]</sup> محمد خلیل و شامل<sup>۸</sup> آثار ضخامت‌های مختلف دیواره‌ی مخازن رو باز را در رفتارشان تحت نشسته‌های هارمونیک بحرانی تعیین کردند و آنها را تحت موج‌های نشست متعددی با دامنه‌های نشست یکسان قرار دادند و مود کمانش و تابع نشست قائم بحرانی مخازن مذکور را مقایسه کردند. فن و همکاران (۲۰۱۶)<sup>[۱۶]</sup> در بررسی کمانش مخازن فولادی تحت نشست اندازه‌گیری شده براساس مدل پیش‌بینی منحنی پواسون به این تیجه رسیدند که تحلیل کمانشی در مخازن با سقف متجرک با همان اندازه و مصالح تحت نشست یکسان سبب رفتار کمانشی در مخزن نمی‌شود. اما در مقایسه با کمانش مخزن با سقف ثابت، جابه‌جایی شعاعی بالای دیواره‌ی مخزن، عامل کنترل‌کننده در تخمین رفتار و وضعیت حد نهایی مخزن با سقف متجرک خواهد بود.

تاراسنکو<sup>۹</sup> و همکاران (۲۰۱۶)<sup>[۱۷]</sup> تغییرشکل‌های مفاصل را در سازه‌های فولادی مخازن و سیستم گاز در هنگام وقوع نشست فونداسیون بررسی کردند. گانگ و همکاران (۲۰۱۷)<sup>[۱۸]</sup> نیز در بررسی مقاومت کمانشی مخازن استوانه‌بی فولادی تحت نشسته‌های هارمونیک بیان کردند که مؤلفه‌های هارمونیک با تعداد موج‌های بالا می‌توانند سبب تغییر موج‌های کمانشی در مخازن تحت نشسته‌های جزئی شوند. گرجت<sup>۱۰</sup> و همکاران (۲۰۱۸)<sup>[۱۹]</sup> تابع آرمایش نشست مخازن با مصالح شکر ملاس را تجزیه و تحلیل کردند و نشان دادند که مقادیر نشست به دست آمده از تحلیل عددی بیشتر از مقادیر نشسته‌های واقعی است. بیشترین اختلاف در مقادیر در چرخه‌ی تخلیه‌های اول و دوم پر کردن مخزن ذخیره به دست آمد. وانگ<sup>۱۱</sup> و همکاران (۲۰۱۹)<sup>[۲۰]</sup> ارتعاش آکوستیک در خصوص پوسته‌های استوانه‌بی غوطه‌ور را ضخامت متغیر بررسی کردند.

ایگناتویکز و هوتالا<sup>[۲۱]</sup> (۲۰۲۰) گسیختگی مخازن استوانه‌بی فولادی را تحت نشسته‌های فونداسیون بررسی کردند و روش مشابهی برای تعیین اثر وضعیت تغییرشکل لایه‌ی زیرین در قسمت پایین مخازن فولادی استوانه‌بی در حالت تنش در محدوده‌ی کشسان در صفحات پایین و پوسته ارائه دادند.

گوزی و بوهرا (۲۰۲۰)<sup>[۲۲]</sup> تناسب ابعادی را جهت مخازن ذخیره‌سازی از نوع



شکل ۱. مخزن استوانه‌بی فولادی قرار گرفته روی بی بتنی.

$$\begin{aligned} M_x &= a \int_{-h/2}^{h/2} \bar{\sigma}_x (1 + z/a) z dz \\ M_\theta &= a \int_{-h/2}^{h/2} \bar{\sigma}_\theta z dz \\ M_{x\theta} &= a \int_{-h/2}^{h/2} \bar{\tau}_{x\theta} (1 + z/a) z dz \\ M_{\theta x} &= a \int_{-h/2}^{h/2} \bar{\tau}_{\theta x} z dz \end{aligned} \quad (1)$$

که در آنها،  $a$  شعاع متوسط پوسته و پارامترهای  $N$  نیروهای برشی و قائم در صفحه،  $\bar{\sigma}$  پارامترهای  $Q$ ، نیروهای برشی عرضی و پارامترهای  $M$  گشتاورهای خمشی و پیچشی هستند. پارامترهای  $\sigma$  و  $\tau$  هم معرف مؤلفه‌های تنش در هر نقطه از ضخامت پوسته هستند.

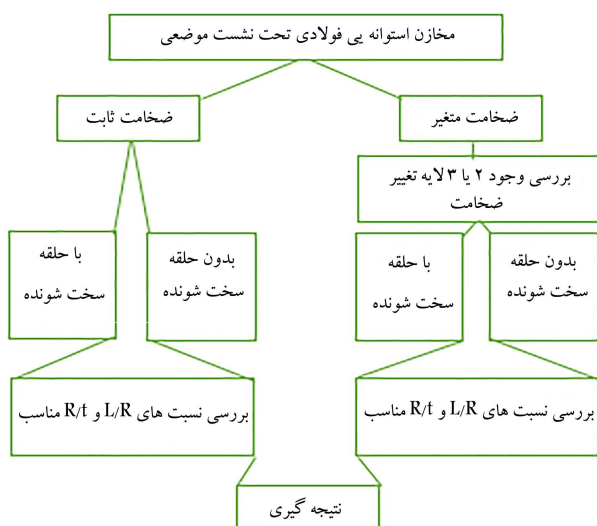
تیموتی<sup>۱</sup> و همکاران (۱۹۸۹)<sup>[۲۳]</sup> در بررسی مخازن فولادی تحت نشست در زیر دیواره‌ی خود دریافتند که وجود دیواره‌های مخزن باعث می‌شود که نواحی بالایی مخازن با سقف متجرک به سمت داخل و خارج حرکت کنند، اما فشارهای قابل توجهی در دیوارها ایجاد نکنند. اعوجاج ناشی از نشست دیواره‌ها می‌تواند باعث ایجاد مشکل در پشت سقف متجرک مخازن و کمانش آنها شود.

پس از آن کامیاب و پالمر در سال‌های ۱۹۸۹<sup>[۲۴]</sup> الی ۱۹۹۴<sup>[۲۵-۲۷]</sup> نشسته‌های هارمونیک و مفاصل اصلی مقاوم در برای باد را بررسی و تابع به دست آمده را با استفاده از معادلات تغییرشکل اصلاح شده‌ی دائل<sup>۲</sup>، که شامل طیف گستردگی از تعداد موج‌ها بوده است، استفاده کردند. انصاریان و جنیدی (۱۹۹۹)<sup>[۲۸]</sup> در مطالعه‌ی کمانش خطی در پوسته‌های استوانه‌بی تحت اثر نشست عمودی لبه‌ها، پوسته‌های یکنواخت را بررسی کردند و دریافتند که برای تعداد موج‌های کم، موج کمانشی برشی به وجود می‌آید و مود مذکور توسط کمانش محوری کنترل می‌شود، که با افزایش تعداد موج‌ها رابطه دارد.

روتر و هولست<sup>۳</sup> (۲۰۰۵)<sup>[۲۹]</sup> نیز رفتار کمانشی پوسته‌های استوانه‌بی را تحت بار محوری فشاری در حالت نشست موضعی، که در حالت بالازدگی موضعی در حالت پیوسته با تغییرات سینوسوی پوسته‌ها در نظر گرفته شده بود، بررسی کردند. زائو<sup>۴</sup> و همکارانش (۲۰۱۰)<sup>[۳۰]</sup> مطالعات گستردگی را در مورد کمانش پوسته‌های استوانه‌بی تحت نشست با استفاده از روش اجراء محدود انجام دادند. همچنین زائو

جدول ۱. مشخصات کلی مربوط به نمونه‌های مخزن مدل‌سازی شده.

نام نمونه	مشخصات نمونه	نسبت	نسبت معادل	حلقه‌ی	نقویتی
		$L/R$	$R/t$		
C1	نمونه‌ی مخزن فولادی استوانه‌یی به ارتفاع ۲۴۰ میلی‌متر با ضخامت ثابت ۳۰ میلی‌متر	۰/۴۸	۱۶۶۷	دارد	
C2	نمونه‌ی مخزن فولادی استوانه‌یی به ارتفاع ۲۴۰ میلی‌متر با ضخامت ثابت ۶۰ میلی‌متر	۰/۴۸	۸۳۳	ندارد	
C3	نمونه‌ی مخزن فولادی استوانه‌یی به ارتفاع ۲۴۰ میلی‌متر با ضخامت ثابت ۶۰ میلی‌متر	۰/۴۸	۸۳۳	دارد	
C4	نمونه‌ی مخزن فولادی استوانه‌یی به ارتفاع ۲۴۰ میلی‌متر با ضخامت ثابت ۸۰ میلی‌متر	۰/۴۸	۶۲۵	دارد	
C5	نمونه‌ی مخزن فولادی استوانه‌یی به ارتفاع ۴۸۰ میلی‌متر با ضخامت ثابت ۶۰ میلی‌متر	۰/۹۶	۸۳۳	دارد	
V1	نمونه‌ی مخزن فولادی استوانه‌یی به ارتفاع ۲۴۰ میلی‌متر با ۲ دو لایه ضخامت متغیر ۳/۰ و ۰/۵ میلی‌متر	۰/۴۸	۱۰۰۰~۱۶۶۷	ندارد	
V2	نمونه‌ی مخزن فولادی استوانه‌یی به ارتفاع ۲۴۰ میلی‌متر با ۲ دو لایه ضخامت متغیر ۳/۰ و ۰/۵ میلی‌متر	۰/۴۸	۱۰۰۰~۱۶۶۷	دارد	
V3	نمونه‌ی مخزن فولادی استوانه‌یی به ارتفاع ۲۴۰ میلی‌متر با ۲ دو لایه ضخامت متغیر ۵/۰ و ۰/۶ میلی‌متر	۰/۴۸	۸۳۳~۱۰۰۰	ندارد	
V4	نمونه‌ی مخزن فولادی استوانه‌یی به ارتفاع ۲۴۰ میلی‌متر با ۲ دو لایه ضخامت متغیر ۵/۰ و ۰/۶ میلی‌متر	۰/۴۸	۸۳۳~۱۰۰۰	دارد	
V5	نمونه‌ی مخزن فولادی استوانه‌یی به ارتفاع ۲۴۰ میلی‌متر با ۲ دو لایه ضخامت متغیر ۳/۰ و ۰/۸ میلی‌متر	۰/۴۸	۶۲۵~۱۶۶۷	ندارد	
V6	نمونه‌ی مخزن فولادی استوانه‌یی به ارتفاع ۲۴۰ میلی‌متر با ۲ دو لایه ضخامت متغیر ۳/۰ و ۰/۸ میلی‌متر	۰/۴۸	۶۲۵~۱۶۶۷	دارد	
V7	نمونه‌ی مخزن فولادی استوانه‌یی به ارتفاع ۴۸۰ میلی‌متر با ۲ دو لایه ضخامت متغیر ۳/۰ و ۰/۵ میلی‌متر	۰/۹۶	۱۰۰۰~۱۶۶۷	دارد	
V8	نمونه‌ی مخزن فولادی استوانه‌یی به ارتفاع ۴۸۰ میلی‌متر با ۲ دو لایه ضخامت متغیر ۵/۰ و ۰/۶ میلی‌متر	۰/۹۶	۸۳۳~۱۰۰۰	دارد	
V9	نمونه‌ی مخزن فولادی استوانه‌یی به ارتفاع ۲۴۰ میلی‌متر با ۳ دو لایه ضخامت متغیر ۳/۰ و ۰/۶ میلی‌متر	۰/۴۸	۸۳۳~۱۶۶۷	ندارد	
V10	نمونه‌ی مخزن فولادی استوانه‌یی به ارتفاع ۲۴۰ میلی‌متر با ۳ دو لایه ضخامت متغیر ۵/۰، ۰/۶ و ۰/۶ میلی‌متر	۰/۴۸	۸۳۳~۱۶۶۷	دارد	
V11	نمونه‌ی مخزن فولادی استوانه‌یی به ارتفاع ۲۴۰ میلی‌متر با ۳ دو لایه ضخامت متغیر ۳/۰، ۰/۵ و ۰/۸ میلی‌متر	۰/۴۸	۶۲۵~۱۶۶۷	ندارد	
V12	نمونه‌ی مخزن فولادی استوانه‌یی به ارتفاع ۲۴۰ میلی‌متر با ۳ دو لایه ضخامت متغیر ۳/۰، ۰/۵ و ۰/۸ میلی‌متر	۰/۴۸	۶۲۵~۱۶۶۷	دارد	



شکل ۲. فلوچارت روند بررسی نمونه‌ها.

سقف باز، که تحت نشسته‌های جزئی قرار می‌گیرند، را به دست آوردن و روشهای ارزیابی میزان نشست جزئی مجاز برای مخازن ذخیره‌سازی با سقف باز، عمودی و بالای سطح زمین با استفاده از نشسته‌های هارمونیک مرتبه‌ی بالاتر از مشخصات واقعی نشست ارائه دادند.

دلیل مهمی که سبب ساخت مخازن با ضخامت متغیر می‌شود، این است که مخازن فولادی معمولاً دارای ابعاد بسیار بزرگ هستند و از این جهت بسیار اقتصادی و مقرون به صرفه خواهند بود تا ضخامت آن در نواحی که نشش کمتری تحمل می‌شود، کاهش یابد. لذا بیشتر مخازن در دنیا واقعی به این صورت ساخته و بهره‌برداری می‌شوند.

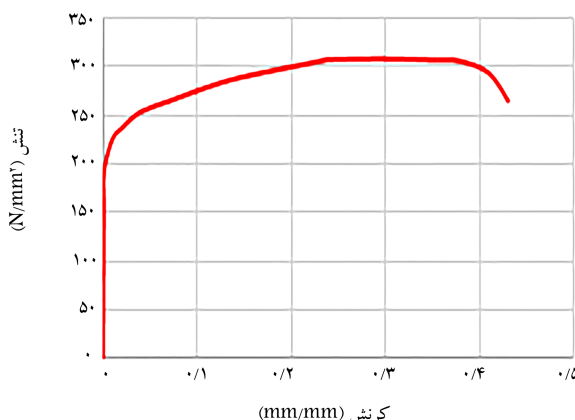
با توجه به مطالعات پیشین انجام پذیرفته در این خصوص، در زمینه‌های نشست مخازن و همچنین مخازن با ضخامت های متغیر و موارد دیگر، تاکنون بررسی جامعی که به صورت هم‌زمان شرایط تغییر ضخامت در ارتفاع و بحث نشست موضعی و همچنین شرایط مختلف و ارتفاع مخازن را به صورت هم‌زمان مورد مطالعه قرار دهد، یافت نشده است. همچنین توصیه‌های آینه‌های مرتبط از جمله API ۶۵۰ در این خصوص محدود بوده و فقط به ارائه چند رابطه در خصوص تعیین نشست مجاز مخازن فولادی اشاره شده است. با توجه به موارد ذکر شده و خلاصه موجود در مطالعات پیشین، در نهایت هدف برآن شد که در بررسی حاضر، مخازن استوانه‌یی فولادی با ضخامت متغیر با در نظر گرفتن پارامترهای تغییر تعداد و ضخامت لایه‌های پوسته، وجود یا عدم وجود حلقه‌ی سخت‌کننده عرضی در بالای پوسته و همچنین بررسی اثر نسبت ارتفاع به شعاع (نسبت  $L/R$  برای دو ارتفاع مشخص) تحت نشست موضعی قرار گرفته و رفتار آنها با مخازن با ضخامت ثابت مقایسه شود. از این رو انتظار می‌رود تا پژوهش مذکور راهگشای ابهامات در این راستا باشد. در شکل ۲، شما باید کلی از روند بررسی انجام شده مشاهده می‌شود.

### ۳. پارامترهای مورد بررسی

در پژوهش حاضر، ۱۷ مخزن استوانه‌یی فولادی به روش عددی مدل‌سازی شدند و تحت نشست موضعی در لایه‌ی پایینی خود قرار گرفتند. در جدول ۱، مشخصات کلی مربوط به نمونه‌های مدل‌سازی شده ارائه شده است. قطر نمونه‌ها به سبب قابلیت مقایسه با نمونه‌ی آزمایشگاهی برابر  $100^0$  میلی‌متر و حلقه‌ی تقویت‌کننده از نوع نسبتی  $3 \times 30 \times 30 \text{ mm}^3$  میلی‌متر منظور شده است. نمونه‌های با ضخامت



شکل ۳. نمونه‌ی نصب شده بر روی سیستم اعمال نشست.



شکل ۴. منحنی تنش - کرنش به دست آمده از آزمون کششی ورق فولادی.

لازم به ذکر است که شیار دستگاه ساخته شده جهت اعمال نشست، علی‌رغم دقیق بالای ساخت، هنگام بارگذاری در تماس کامل و ۱۰۰٪ با لبه‌ی پایین نمونه قرار نمی‌گیرد و به تدریج با اعمال نیرو، تماس کامل حادث می‌شود. از این رو و با توجه به میلی‌متری بودن مقادیر اعمال نشست، پس ازاندکی نیرو، لبه‌ی مذکور تماس کامل پیدا می‌کند و مقاییر به آنچه در نتایج عددی به آن اشاره شد، می‌رسد؛ که این مورد جزء خطاهای آزمایشگاهی قابل قبول در نظر گرفته می‌شود. با وجود این، در شکل ۵ تطابق خوبی میان نتایج عددی و آزمایشگاهی برای نمونه‌ی شماره‌ی ۳ مشاهده می‌شود. دلیل پایین بودن بار معادل آزمایشگاهی در ابتدای مسیر این است که کلیه‌ی لبه‌های نمونه، بر قسمت داخلی شیار دستگاه مماس نشده و پس از اعمال نشست به میزان حدود ۵/۰ میلی‌متر تماس کامل صورت گرفته است. باقی موارد را می‌توان مناسب و مطلوب ارزیابی کرد و باقی تفاوت‌ها ناشی از شرایط آزمایشگاهی است.

#### ۲.۴. نحوه‌ی مدل سازی

جهت مدل سازی نمونه‌های عددی، ابتدا هندسه‌ی تک‌تک المان‌های استفاده شده به همراه ابعاد مرتبط با المان پوسته ایجاد شده است، که شامل پوسته‌های استوانه‌بی به همراه حلقه‌های تقویت‌کننده است. سپس در قسمت مشخصات، خصوصیات مصالح مشخص شده و چگالی و خواص کشسان، شامل: مدول کشسانی و ضریب پواسون مطابق جدول ۲ به مصالح تعلق گرفته است. خواص خمیری، شامل: تنش

ثبت با نماد C و نمونه‌های با ضخامت متغیر با نماد V نام‌گذاری شده‌اند. در جدول ۱، مشخصات کلی نمونه‌های مذکور ارائه شده است، که در آن پارامترهای: L معرف ارتفاع پوسته، R معرف شعاع پوسته و t معرف ضخامت پوسته هستند.

در خصوص نمونه‌های انتخاب شده جهت مدل سازی اجزاء محدود می‌توان این موارد را بیان کرد:

۱) در مورد بحث تغییر ضخامت در ارتفاع مخزن، سه حالت کلی در نظر گرفته شده است، که شامل نمونه‌های: با ضخامت ثابت، با دو لایه‌ی تغییر ضخامت، و با سه لایه‌ی تغییر ضخامت هستند.

۲) ضخامت‌های نمونه‌های مذکور باید در محدوده‌ی قرار گیرند که رفتار سازه در زمرة‌ی جدار نازک قارگیرد و اتصال کامل و سرتاسری لایه‌های با ضخامت مختلف به نوعی مدل سازی شده‌اند تا از رخداد پدیده‌ی تمرکز تنش جلوگیری به عمل آید. بنابراین نسبت‌های  $R/t$  از ۵۰۰ الی ۱۶۶۷ متغیر بوده است.

۳) در انتخاب نمونه‌ها سعی شده است که تأثیر ارتفاع کلی مخزن در نظر گرفته شود. بدین سبب دو ارتفاع ۲۴۰ و ۴۸۰ میلی‌متری برای ارتفاع کلی مخزن بررسی شده است.

۴) در انتخاب نمونه‌ها با توجه به قطر مخازن، که همگی برابر ۱۰۰۰ میلی‌متر بودند، سعی شد تا از نسبت‌های مختلفی در ضخامت لایه‌ها استفاده شود.

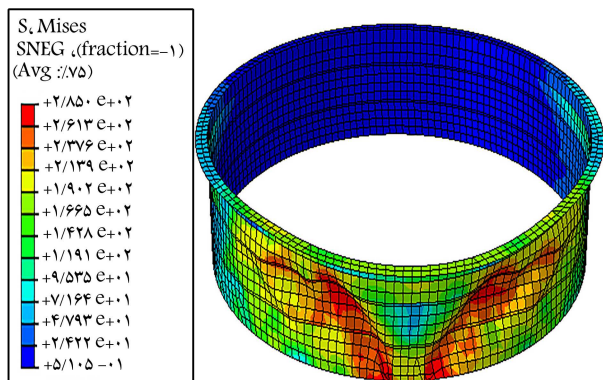
۵) در نمونه‌های مدل سازی شده، وجود و عدم وجود حلقه‌ی تقویتی و تأثیر آن در عملکرد و محدود ساختن تغییرشکل‌های شعاعی در مخازن و ارتفاع‌های متفاوت بررسی شده است. لازم به ذکر است که در نمونه‌های با حلقه‌ی تقویتی، حلقه‌ی مذکور فقط در لبه‌ی بالای پوسته و فقط به تعداد یک عدد استفاده و به صورتی جوش داده شده است که لبه‌ی عمود بر سطح پوسته در بالاترین ارتفاع پوسته قرار گیرد.

۶) در نهایت لازم به ذکر است که با در نظر گرفتن ۴ پارامتر کلی به این شرح در مجموع ۱۷ نمونه مخزن فولادی جهت مدل سازی به روش عددی انتخاب شدند، که شامل: تغییر در ارتفاع کلی مخزن، تعداد لایه‌های تغییر ضخامت، نسبت‌های ضخامت لایه‌ها و بررسی تأثیر حلقه‌ی سخت‌کننده بوده است.

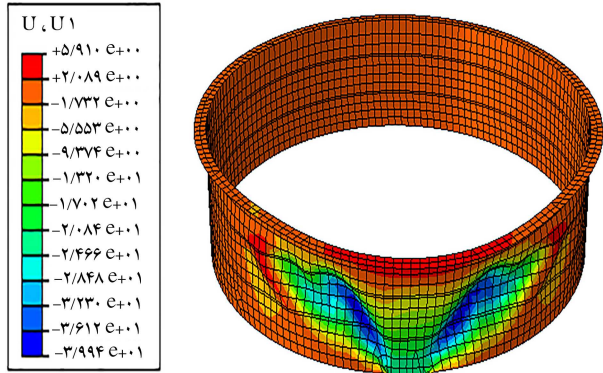
#### ۴. مدل سازی عددی

##### ۴.۱. صحبت‌سنگی

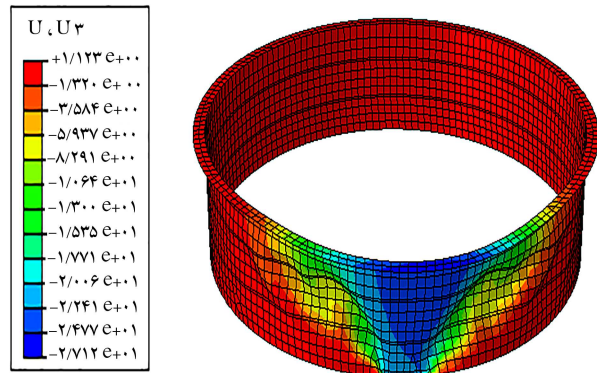
در نوشتار حاضر، به منظور صحبت‌سنگی در نتایج نمونه‌های مدل سازی شده، نتایج به دست آمده از یک نمونه‌ی آن با یک نمونه‌ی ساخته شده و آزمون شده در سیستم آزمونی که توسط ناصری و شوکتی (۲۰۲۱)،<sup>[۲۲]</sup> ساخته شده بود، مقایسه شده است. در شکل ۳، نمونه و سیستم اعمال نشست مشاهده می‌شود. جهت بررسی بهتر در نوشتار حاضر، از مفهوم بار معادل استفاده شده است. لازم به ذکر است که منظور از بار معادل یک بار مجازی است که در واقع مقدار نیرویی است که برای ایجاد تغییرشکل معادل نشست لازم است. از آن جایی که در بررسی حاضر، مقادیر نشست به تدریج افزایش می‌یابد، در واقع می‌توان بار معادل را برابر مقدار نیرویی تعریف کرد که برای ایجاد تغییرشکل عمودی معادل نشست لازم است. پس از آزمایش کشش نمونه‌ی ورق استفاده شده در نمونه‌ی آزمایشگاهی، که نمودار تنش - کرنش آن در شکل ۴ مشاهده می‌شود، مقایسه‌ی منحنی بار معادل - نشست نمونه‌های آزمایشگاهی و عددی شماره‌ی ۳ صورت گرفته است (شکل ۵).



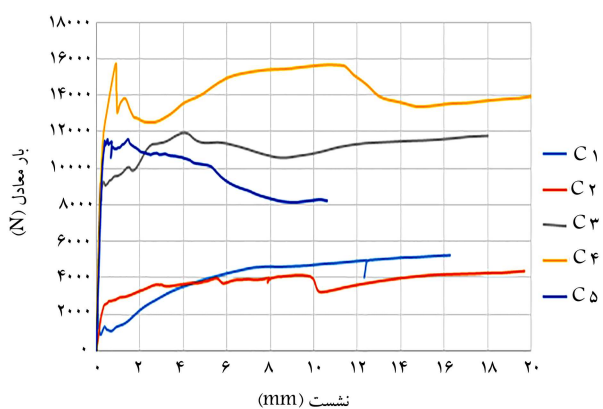
شکل ۶. تنش فون میزس.



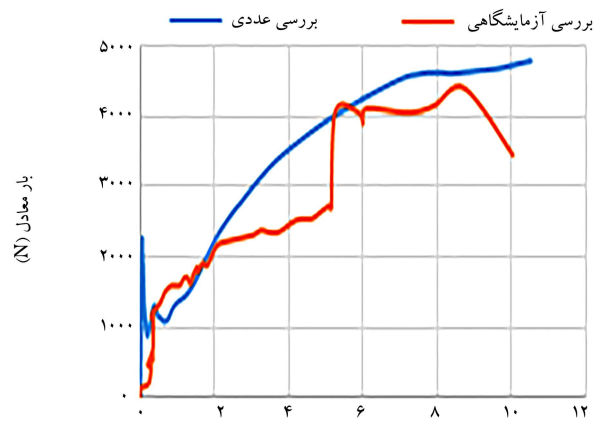
شکل ۷. تغییرشکل شعاعی.



شکل ۸. تغییرشکل عمودی.



شکل ۹. منحنی بار قائم معادل - نشست جدارهی مخزن نمونه‌های با ضخامت ثابت.



شکل ۵. مقایسه‌ی منحنی بار معادل - نشست به دست آمده از دو روش عددی و آزمایشگاهی نمونه‌ی شماره‌ی ۳.

جدول ۲. مشخصات مصالح فولادی.

پارامتر	مقدار
چگالی	$7/85 \times 10^{-5} N/mm^3$
مدول کشسانی	$2 \times 10^5 N/mm^2$
ضریب پواسون	۰/۳

تسییم و کرشن تسییم نیز در گام‌های مختلف به نمونه تخصیص داده شده است. در تحلیل حاضر از المان S4R، که یک المان ۴ گرهی با انحنای دوطرفه با انتگرال کاکنهای یافته است، استفاده شده است. هرگره از المان R، ۶ درجه آزادی شامل ۳ درجه آزادی انتقالی و ۳ درجه آزادی دورانی دارد. درنهایت، لبه پایینی مخزن مطابق با آنچه در واقعیت نیز وجود دارد و معمولاً متصل به فونداسیون بتنی است، در برابر تغییرمکان و دوران در ۳ راستا مقید و فقط چیزی حدود ۵٪ محیط، که معادل محل نشست موضعی است، به صورت آزاد مدل سازی شده و نشست وارد بر سازه‌ی پوسته نیز به صورت کشتل تغییرمکان در محل اشاره شده تا زمان رسیدن ناحیه‌یی از پوسته به حد نهایی مصالح فولادی اعمال شده است.

### ۳.۴. نتایج

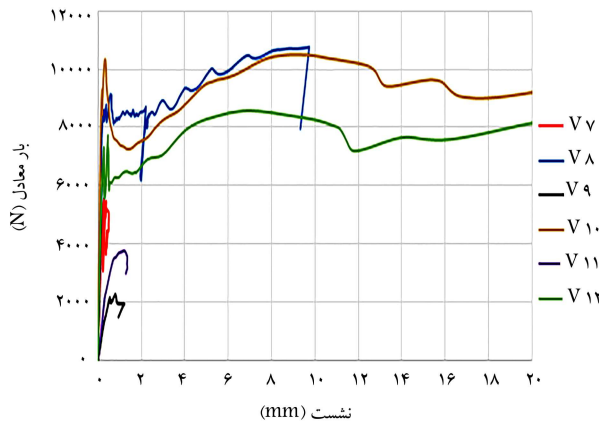
پس از مدل سازی نمونه‌ها طبق جدول ۱، آنالیز غیرخطی انجام شده و مقادیر تنش طبق معیار فون میزس و تغییرشکل در راستای شعاعی و عمودی به دست آمده است. در شکل ۶، تنش طبق معیار فون میزس، در شکل ۷، تغییرشکل در جهت شعاعی و در شکل ۸، تغییرشکل در جهت عمودی مشاهده می‌شوند. درنهایت پس از مدل سازی با روش عددی تحت نرم افزار آباکوس<sup>۱۴</sup> نتایج به دست آمده در جدول ۳ ارائه شده است.

### ۴. نمودارهای بار معادل - نشست

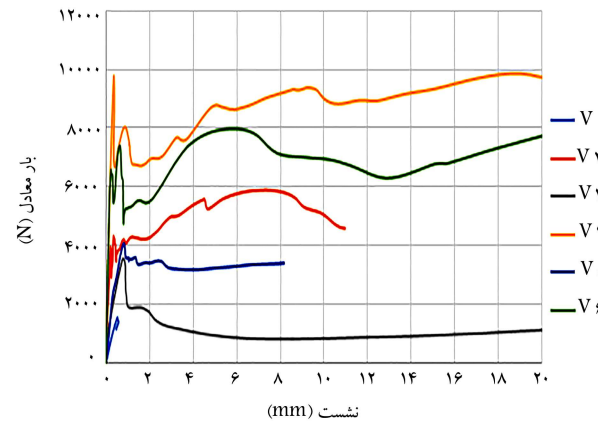
در شکل ۹، نمودار بار معادل - نشست برای نمونه‌های با ضخامت ثابت و در شکل‌های ۱۰ و ۱۱، نمودار بار معادل - نشست برای نمونه‌های با ضخامت متغیر مشاهده می‌شوند، که در آنها محور افقی نشست موضعی در یک لبهی مخزن بر حسب میلی‌متر و محور قائم معروف بار معادل نشست مذکور بر حسب نیوتون است. لازم به ذکر است که بیشینه‌ی میزان نشست به عدد ۲۰ میلی‌متر محدود شده است. نمودارهای اخیر نشان می‌دهند که بار معادل متناسب با میزان نشست در

جدول ۳. مقادیر نتش و تغییرشکل حاصل شده در نمونه‌ها تحت آنالیز غیرخطی.

نام نمونه‌ها	انتقال نیرو (میلی متر)	بیشینه‌ی در زاویه‌ی ۴۵ درجه بالای صفحه‌ی	بیشینه‌ی تغییرمکان شعاعی	بار معادل بیشینه‌ی حاصل شده $U^3$ (میلی متر)	بیشینه‌ی تغییرمکان عمودی بالای پوسته (میلی متر)
C1	۲۰/۶۷۳۷	۵۲۳۷/۹۸	۱۶/۲۶۴۶	۰/۶۱۸۳	۰/۶۱۸۳
C2	۲۵/۷۳۶	۴۳۶۶/۸۴	۱۹/۶۸۴۸	۱۸/۹۰۴۷	۱۸/۹۰۴۷
C3	۴/۲۵۷۲	۱۱۷۶۹/۰	۲۰/۰۰	۱۲/۵۰۲	۱۲/۵۰۲
C4	۴۰/۰۶۹	۱۵۶۶۱/۸	۲۰/۰۰	۷/۴۰۶۹	۷/۴۰۶۹
C5	۳۸/۴۵۶	۱۱۵۷۴/۹	۱۰/۶۱۱۳	۵/۲۰۰۱	۵/۲۰۰۱
V1	۲/۸۵۰۴	۱۵۳۸/۶۳	۰/۵۸۰۹	۶/۸۵۷۲	۶/۸۵۷۲
V2	۲۴/۱	۵۸۸۱/۸۲	۰/۷۶۸۹	۱۰/۹۶۵	۱۰/۹۶۵
V3	۷۳/۷۵۱	۳۵۳۷/۶۸	۲۰/۰۰	۱۳۸/۳۱۱	۱۳۸/۳۱۱
V4	۲۷/۳۶۷	۱۰۵۳۰/۲	۲۰/۰۰	۴/۸۵۳۵	۴/۸۵۳۵
V5	۴۷/۳۶۹	۴۰۵۱/۸۴	۸/۱۶۸۹	۳۹/۰۱۶	۳۹/۰۱۶
V6	۲۷/۷۸۵	۱۰۸۶۸/۹	۲۰/۰۰	۳/۸۲۹۲	۳/۸۲۹۲
V7	۸/۳۸۸	۵۵۳۷/۸۱	۰/۴۱۳۲	۰/۴۵۳۶	۰/۴۵۳۶
V8	۴۲/۳۵۵	۱۰۷۴۷/۳	۹/۷۳۷۸	۲/۵۴۳۴	۲/۵۴۳۴
V9	۲/۶۸۴	۲۲۶۳/۴۷	۱/۲۰۹۵	۹/۷۳۳۴	۹/۷۳۳۴
V10	۳۶/۹۸	۱۰۹۴۲/۵	۲۰/۰۰	۰/۰۰۲۵۱۱	۰/۰۰۲۵۱۱
V11	۶/۱۳۶۳	۳۷۶۲/۱۱	۱/۳۵۴۷	۱۰/۰۹۲۲	۱۰/۰۹۲۲
V12	۴۳/۹۸۱	۸۵۶۹/۸۸	۲۰/۰۰	۳/۰۱۸۸	۳/۰۱۸۸



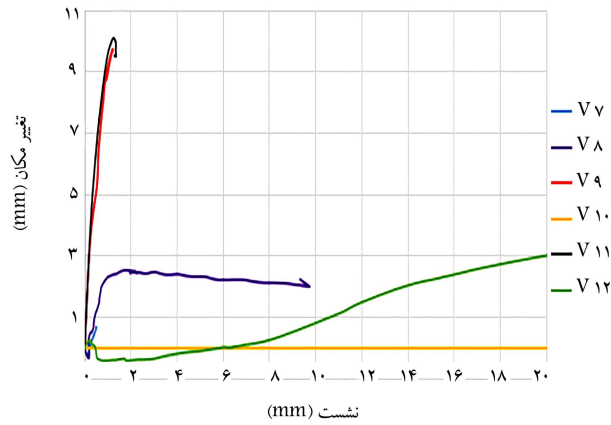
شکل ۱۱. منحنی بار قائم معادل - نشست جداری مخزن نمونه‌های با ضخامت متغیر.



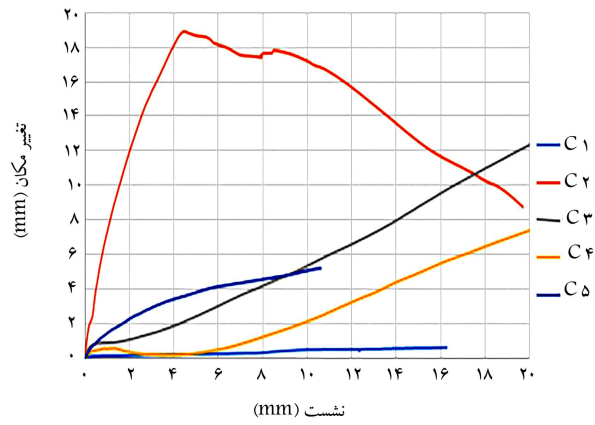
شکل ۱۰. منحنی بار قائم معادل - نشست جداری مخزن نمونه‌های با ضخامت متغیر.

تجاوز از مقدار نشست مذکور، نمونه‌های اخیر گسیخته می‌شوند. مطلب قابل توجه دیگر، عملکرد مناسب‌تر نمونه‌ی V4 در مقایسه با نمونه‌ی V6 بوده است، که بهبود عملکرد نمونه با ۲ ضخامت نزدیک به هم در ارتفاع را نسبت به نمونه با تفاوت فاچش ضخامت نشان می‌دهد. در صورتی که از جهت وزنی، دو مخزن ذکر شده در شرایط مشابه قرار داشته‌ند. بنابراین ضخامتی متناسب با قطر مخزن (نسبت  $R/t$ ) در محدوده‌ی مابین ۱۰۰۰ الی ۸۰۰ ممکن است. البته این مورد برای نمونه‌های با حلقه‌ی تقویتی صادق بوده و در صورت وجود مخزن قادر حلقه‌ی تقویتی شرایط تغییریافته وجود ضخامت بالاتر در قسمت پایین مخزن سبب رفتار مناسب شده است. نکته‌ی قابل توجه دیگر نتایج مشابه نمونه‌های C3، V4، V5 و V10 است. نمونه‌ی C3، حدود ۱۵٪ بار معادل نشست بیشتر نسبت به ۲ نمونه‌ی دیگر

نمونه‌های مدل‌سازی شده، رابطه‌ی مستقیم با ضخامت پوسته دارد، به نحوی که نمونه با ضخامت  $3/۰$  میلی متر، کمترین و نمونه با ضخامت  $۰/۸$ ، بیشترین بار معادل متناظر و نمونه با ضخامت  $۰/۶$ ، بار معادل مابین دو مقدار قبلی را داشته‌اند. همچنین وجود حلقه‌ی تقویتی در نمونه‌ی C2 سبب افزایش نسبت به نمونه‌ی C3 در نمونه‌ی C2 برابر بار معادل شده و از این نظر نقش غیرقابل انکاری در بهبود عملکرد پوسته داشته است. همچنین افزایش ارتفاع پوسته، تأثیر چندانی در بار معادل نداشته و بار معادل نمونه‌های C3 و C5، مقدار نزدیک به هم داشته است. در نمونه‌های V1، V2، V7 و V9 با توجه به نسبت ابعادی مشخص و شعاع به قطر ( $R/t$ ) در مقادیر نشست پایین‌تر، مصالح فولادی در نمونه‌ها به حد نهایی خود رسیده و از این جهت تحلیل متوقف شده است، لذا نتیجه گرفته می‌شود که در صورت



شکل ۱۴. منحنی تغییرمکان شعاعی - نشست در قسمت بالای پوسته‌ی نمونه‌های با ضخامت ثابت.



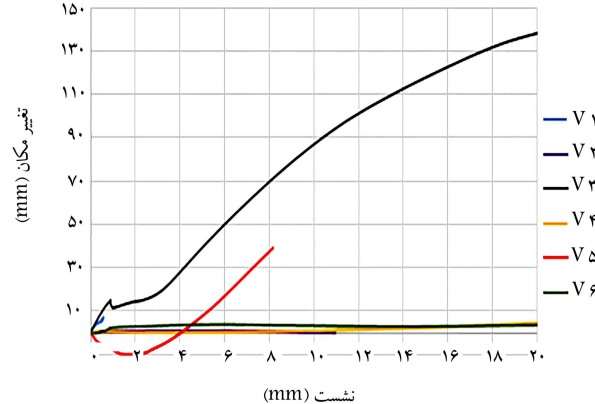
شکل ۱۲. منحنی تغییرمکان شعاعی - نشست در قسمت بالای پوسته‌ی نمونه‌های با ضخامت متغیر.

متغیر نسبت به نمونه‌های با ضخامت ثابت مناسب‌تر ارزیابی می‌شود. دلیل این امر را می‌توان رفتار نرم‌تر کمانشی در نمونه‌های با ضخامت متغیر به سبب انعطاف محل اتصال و کاهش انتقال موج کمانشی لایه‌ی پایین به لایه‌ی بالاتر دانست. لازم به ذکر است که نمونه‌های V1، V2 و V9 علی‌رغم مقادیر بیشی‌هی نشست پایین، تغییرشکل‌های شعاعی قابل توجهی را از خود نشان دادند، که این مطلب را می‌توان به رخداد کمانش در مقادیر نشست پایین‌تر (بار معادل کمتر) مرتبط دانست. لازم به ذکر است که نمونه‌ی V3 فاقد حلقه‌ی تقویتی است و با توجه به این‌که توانسته است تا قبل از رسیدن به حد نهایی ( $F_u$ ) به میزان ۲۰ میلی‌متر نشست برسد؛ متناسب با آن، تغییرشکل شعاعی بالایی حاصل شده است. نمونه‌ی V10 با حلقه‌ی تقویتی بوده و وجود آن سبب محدود ساختن تغییرشکل شعاعی شده است. همان‌گونه که در متون نوشتار حاضر نیز ذکر شده است، وجود حلقه‌ی سخت‌کننده‌ی شعاعی، آثار بسیار مشبی در رفتار آن داشته و نتایج به دست آمده نیز گواه بر این مطلب بوده است. در میان نمونه‌های مدل‌سازی شده، مناسب‌ترین عملکرد در این خصوص را می‌توان به نمونه‌های C1، V2، V4 و V10 مرتبط دانست، که همگی حلقه‌ی تقویتی داشته و البته عملکرد نمونه‌های با ضخامت متغیر مناسب‌تر نیز ارزیابی شده است.

#### ۴.۶. نمودارهای نشست - تغییرمکان شعاعی در زاویه‌ی ۴۵ درجه پوسته

در شکل ۱۵، نمودار تغییرمکان شعاعی در زاویه‌ی ۴۵ درجه، محل اعمال نشست در روش ارتفاع پوسته - نشست برای نمونه‌های با ضخامت ثابت و در شکل‌های ۱۶ و ۱۷، تغییرات برای نمونه‌های با ضخامت متغیر مشاهده می‌شوند. دلیل اندازه‌گیری تغییرمکان شعاعی در زاویه‌ی ۴۵ درجه این است که پس از اعمال نشست، مسیرهای کمانش پوسته به صورت V شکل رخ داده و مسیرهای کمانش مذکور نشست به محل اعمال نشست، زاویه‌ی ۴۵ درجه داشته‌اند؛ لذا انتظار تغییرشکل شعاعی بیشتری در ناحیه‌ی اشاره شده وجود دارد (مطابق شکل ۱۶).

نمودارهای تغییرشکل شعاعی در زاویه‌ی ۴۵ درجه - نشست نمونه‌ها نشان می‌دهند که تأثیر وجود حلقه‌ی تقویتی در کاهش تغییرشکل‌های مذکور امری انکارناپذیر است و بیش از پیش آثار مثبت این عضو سازه‌ی را به اثبات می‌رساند. همچنین نمونه‌های با ارتفاع کمتر، رفتار مناسب‌تری را نسبت به نمونه‌های با ارتفاع بالاتر نشان داده‌اند (مقایسه‌ی نمونه‌های C3 و C5 در مقایسه با نمونه‌ی C2). افزایش ضخامت نیز تأثیر بالایی در تغییرشکل شعاعی قسمت بالایی پوسته ندارد. رفتار در نمونه‌های با ضخامت



شکل ۱۳. منحنی تغییرمکان شعاعی - نشست در قسمت بالای پوسته‌ی نمونه‌های با ضخامت متغیر.

دارد، اما از بابت وزنی و ملاحظات اقتصادی، سنگین‌تر و گران‌تر از دو نمونه‌ی دیگر بوده است، که بیان‌گر رفتار مناسب و قابل قبول نمونه‌های با ضخامت متغیر است. همچنین نمونه با ۳ ضخامت متغیر در ارتفاع (۱۰) نیز با کاهش وزن نسبت به نمونه با ۲ ضخامت متغیر (V4)، رفتار کاملاً مشابهی را نشان داد و عملکرد مثبت خود را در این بخش به اثبات رسانید. نمونه‌های فاقد حلقه‌ی تقویتی، رفتار ضعیفی در بخش اخیر داشتند و از این رو استفاده از آنها توصیه نمی‌شود. همچنین استفاده از ضخامت‌های پایین نسبت‌های R/t در قسمت پایینی پوسته توصیه نمی‌شود.

#### ۵.۴. نمودارهای تغییرشکل شعاعی بالایی پوسته - نشست

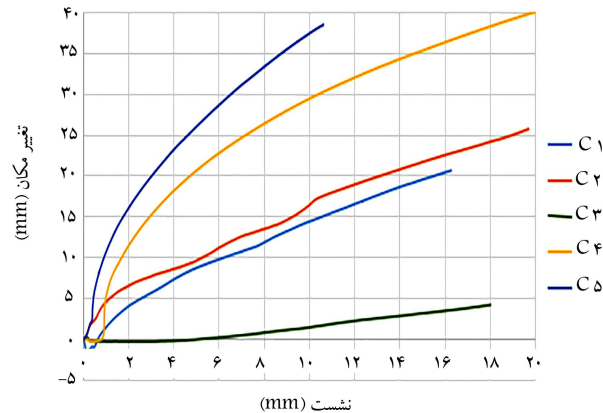
در شکل ۱۲، نمودار تغییرمکان شعاعی در قسمت بالای پوسته - نشست برای نمونه‌های با ضخامت ثابت و در شکل‌های ۱۳ و ۱۴، تغییرات مذکور برای نمونه‌های با ضخامت متغیر مشاهده می‌شوند. لازم به ذکر است که قسمت بالای پوسته ایستوانه‌ی از نقاط بحرانی در تغییرشکل شعاعی محسوب می‌شود.

نمودارهای تغییرشکل شعاعی بالایی پوسته - نشست نمونه‌ها، حاکی از رفتار مناسب‌تر نمونه‌های با حلقه‌ی تقویتی در مقایسه با نمونه‌های فاقد حلقه‌ی تقویتی است ( Riftar نمونه‌ی C3 در مقایسه با نمونه‌ی C2). افزایش ضخامت نیز تأثیر بالایی در تغییرشکل شعاعی قسمت بالایی پوسته ندارد. رفتار در نمونه‌های با ضخامت

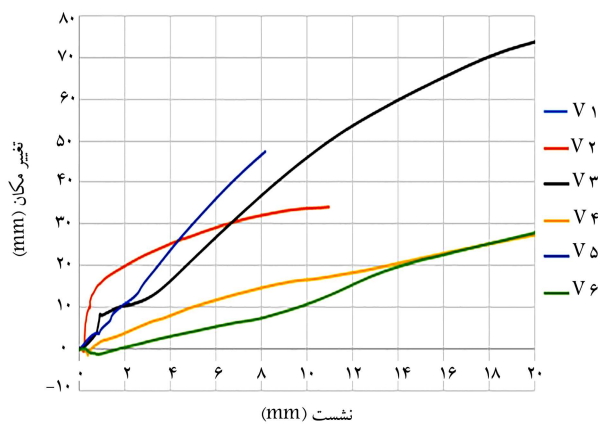
## ۵. نتیجه‌گیری

مخازن فولادی استوانه‌ای از گذشته تاکنون جهت نگهداری مصالح و سیال‌های مختلف استفاده شده است. ایده‌ی تغییر ضخامت در ارتفاع مخزن در جهت کاهش وزن آن و الزامات اقتصادی مدنظر بوده است. پدیده‌ی نشست از جمله موارد مهمی است که باشد آثار آن در حفظ پایداری این‌گونه مخازن مورد نظر قرار گیرد. حساس‌ترین نوع نشست، نشست موضعی است که در پژوهش حاضر نیز آثار آن طبق آنالیز عددی بررسی شده است. در نوشتار حاضر  $17$  مخزن استوانه‌ای فولادی با ارتفاع کوتاه و بلند با و بدون حلقه‌ی تقویت‌کننده در قسمت فوقانی آن و در حالت‌های ضخامت متغیر و ثابت تحت اثر نشست موضعی بررسی شده و این نتایج به دست آمده است:

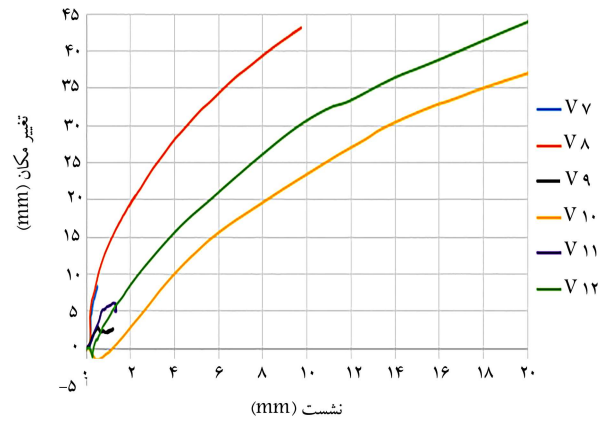
- ۱) بار معادل متناسب با نشست در نمونه‌های مدل‌سازی شده، رابطه‌ی مستقیم با ضخامت پوسته داشته و با بالاتر رفتن ضخامت پوسته، مقادیر بار معادل افزایش یافته است.
- ۲) افزایش ارتفاع پوسته، تأثیر زیادی در افزایش بار معادل نداشته و بار معادل نمونه‌های با ضخامت یکسان و ارتفاع متفاوت، مقادیری نزدیک را به هم نشان داده‌اند.
- ۳) در نمونه‌های با حلقه‌ی تقویتی و ضخامت متغیر، بهبود عملکرد نمونه با دو ضخامت نزدیک به هم در ارتفاع نسبت به نمونه‌ی با تقاؤت فاحش ضخامت، رفتار مناسب‌تری را نشان داده است. در صورتی که از جهت وزنی و استفاده‌ی مصالح، دو مخزن مذکور در شرایط کاملاً مشابه قرار داشتند.
- ۴) ضخامت متناسب با قطر مخزن (نسبت  $t/R$ ) در محدوده‌ی  $800$  الی  $1000$  مناسب ارزیابی شده است. مقادیر بالاتر از  $1000$ ، سبب ضعف عملکرد پوسته در برابر نشست موضعی و رفتار کمانشی شده است، که البته مورد اخیر برای نمونه‌های با حلقه‌ی تقویتی صادق بوده و در صورت وجود مخزن فاقد حلقه‌ی تقویتی، شرایط کاملاً تغییر کرده است.
- ۵) نتایج نمونه‌های  $C_3$ ،  $V_4$  و  $V_10$  تقریباً یکسان بوده است. نمونه‌ی  $C_3$  در حدود  $15\%$ ، بار معادل نشست بیشتری نسبت به دو نمونه‌ی دیگر داشته است، اما نباید این واقعیت را فراموش کرد که از بابت وزنی و ملاحظات اقتصادی، بسیار سنگین تر و گران‌تر از دو نمونه‌ی دیگر بوده است. لذا نمونه‌های با ضخامت متغیر، رفتاری مناسب و قابل قبول دارند.
- ۶) نمونه با  $3$  ضخامت متغیر در ارتفاع ( $V_{10}$ ) با کاهش وزن نسبت به نمونه با  $2$  ضخامت متغیر ( $V_4$ )، رفتار مشابهی را از بابت مقادیر بار معادل متناظر با نشست یکسان نشان داده و عملکرد مثبت خود را در بخش اخیر به اثبات رسانیده است.
- ۷) نمونه‌های فاقد حلقه‌ی تقویتی، رفتار نامطلوبی در بحث تغییرمکان شعاعی داشته‌اند و از این رو استفاده از آنها توصیه نمی‌شود. همچنین استفاده از ضخامت‌های پایین (نسبت‌های  $t/R$  بالای  $1000$ ) در قسمت پایینی پوسته و محل رخداد پدیده‌ی نشست توصیه نمی‌شود.
- ۸) رفتار کمانشی و مقادیر تغییرشکل شعاعی قسمت بالایی پوسته در نمونه‌های با ضخامت متغیر نسبت به نمونه‌های با ضخامت ثابت، پایین‌تر و مناسب‌تر ارزیابی شده است. دلیل این امر را می‌توان رفتار نرم‌تر کمانشی در نمونه‌های با ضخامت



شکل ۱۵. منحنی تغییرمکان شعاعی در زاویه‌ی  $45$  درجه - نشست پوسته‌ی نمونه‌های با ضخامت ثابت.



شکل ۱۶. منحنی تغییرمکان شعاعی در زاویه‌ی  $45$  درجه - نشست پوسته‌ی نمونه‌های با ضخامت متغیر.



شکل ۱۷. منحنی تغییرمکان شعاعی در زاویه‌ی  $45$  درجه - نشست پوسته‌ی نمونه‌های با ضخامت متغیر.

با ضخامت متغیر در مقایسه با نمونه‌های با ضخامت ثابت، بهبود رفتار کمانشی را در بخش حاضر از خود نشان نداده‌اند. حتی در برخی موارد سبب افزایش اندازی در مقادیر تغییرشکل شده‌اند. البته این افزایش به اندازه‌ی بیش نبوده است که بتوان آن را به عنوان یک پارامتر منفی لحاظ کرد و دلیل آن، کاهش ارتفاع لایه‌ها در نمونه‌های با ضخامت متغیر بوده است.

- اثبات می‌رساند.
- ۱۰) نمونه‌های با ضخامت متغیر در مقایسه با نمونه‌های با ضخامت ثابت، بهبود رفتار کمانشی را در بحث تغییرشکل شعاعی در زاویه‌ی  $45^\circ$  درجه از خود نشان نمی‌دهند. حتی در برخی موارد، سبب افزایش اندکی در مقادیر تغییرشکل شده‌اند. البته این افزایش به اندازه‌ی بسیار نبوده است که بتوان آن را به عنوان یک پارامتر منفی لحاظ کرد.

متغیر به سبب انعطاف محل اتصال و کاهش انتقال موج کمانشی لایه‌ی پایین به لایه‌ی بالاتر داشت.

- ۹) تأثیر وجود حلقه‌ی تقویتی در کاهش تغییرشکل‌های شعاعی در بالای پوسته و همچنین وسط ارتفاع پوسته در زاویه‌ی  $45^\circ$  درجه نسبت به محل اعمال نشست، امری غیرقابل انکار است و بیش از پیش آثار مثبت عضو سازه‌ی مذکور را به

## پابلوشتهای

1. Timothy
2. Donnel
3. Holst & Rotter
4. Zhao
5. Cao
6. Gong
7. curve fitting method
8. Shamel
9. Fan
10. Tarasenko
11. Grget
12. Wang
13. Ignatowicz & Hotala
14. ABAQUS

## منابع (References)

1. Almroth, B. and Brush, D. "Bending of bars, plates and shells", *Translated by Mojtaba Qamarizadeh and Gholamhosein Rahimi*, Imam Hussein University Press (2005).
2. D'Orazio, T.B., Duncan, J.M. and Bell, R.A. "Distortion of steel tanks due to settlement of their walls", *J. Geotech. Engrg.*, **115**(6), pp. 871-890 (1989).
3. Kamyab, H. and Palmer, S.C. "Analysis of displacements and stresses in oil storage tanks caused by differential settlement", *Proc. Inst. Mech. Eng., Part C: Mech. Eng. Sci.*, **203**(1), pp. 61-70 (1989).
4. Kamyab, H. and Palmer, S.C. "Displacements in oil storage tanks caused by localized differential settlement", *J. Pressure Vessel Technol., Trans.*, **113**(1), pp. 71-80 (1991).
5. Palmer, S.C. "Structural effects of foundation tilt on storage tanks", *Proc. Inst. Mech. Eng., Part E: J. Process Mech. Eng.*, **206**(E2), pp. 83-92 (1992).
6. Palmer, S.C. "Stress in storage tanks caused by differential settlement", *Proc. Inst. Mech. Eng., Part E: J. Process Mech. Eng.*, **208**(E1), pp. 5-16 (1994).
7. Jonaidi, M. and Ansourian, P. "Buckling of cylindrical shells subjected to edge vertical deformation, in: Advances in Steel Structures", Elsevier, Oxford, **56**, pp. 679-686 (1999).
8. Holst, J.M.F.G. and Rotter, J.M. "Axially compressed cylindrical shells with local settlement", *Thin Wall Struct.*, **43**(5), pp. 811-825 (2005).
9. Cao, Q. and Zhao, Y. "Buckling strength of cylindrical steel tanks under harmonic settlement", *Thin Wall Struct.*, **48**(6), pp. 391-400 (2010).
10. Zhao, Y., Lei, X. and Zhang, X. "Stability analysis of floating-roof tanks under differential settlement", *Adv. Mater. Res.*, **163-167**, pp. 55-60 (2011).
11. Zhao, Y., Lei, X., Wang, Zh. and et al. "Buckling behavior of floating-roof steel tanks under measured differential settlement", *Thin-Walled Structures*, **70**, pp. 70-80 (2013).
12. Gong, J., Tao, J., Zhao, J. and et al. "Effect of top stiffening rings of open top tanks on critical harmonic settlement", *Institute of Process Equipment, Zhejiang University, Hangzhou 310027, China- Thin-Walled Structures*, **65**, pp. 62-71 (2013).
13. Chen, D.Y., Fan, H.G., Shen, J.M. and et al. "Research of curve fitting method on the measured settlement of tanks", *Procedia Engineering*, **130**, pp. 400-407 (2015).
14. Shamel Fahmy, A. and Mohamed Khalil, A. "Wall thickness variation effect on tank's shape behaviour under critical harmonic settlement", *Alexandria Engineering Journal*, **55**(4), pp. 3205-3209 (2016).
15. Fan, H., Chen, Zh., Shen, J. and et al. "Buckling of steel tanks under measured settlement based on poisson curve prediction model", *Thin-Walled Structures*, **106**, pp. 284-293 (2016).
16. Tarasenko, A., Gruchenkova, A. and Chepur, P. "Joint deformation of metal structures in the tank and gas equalizing system while base settlement progressing", *Procedia Engineering*, **165**, pp. 1125-1131 (2016).
17. Gong, J.-G., Zhou, Zh.-Q. and, Xuan, F.-Zh. "Buckling strength of cylindrical steel tanks under measured differential settlement: harmonic components needed for consideration and its effect", *Thin-Walled Structures*, **119**, pp. 345-355 (2017).
18. Grget, G., Ravnjak, K. and Szavits-Nossan, A. "Analysis of results of molasses tanks settlement testing", *Soils and Foundations*, **58**(5), pp. 1260-1271 (2018).
19. Wang, X., Lin, H., Zhu, Y. and et al. "Vibro-acoustic modelling of immersed cylindrical shells with variable

- thickness”, *International Journal of Naval Architecture and Ocean Engineering*, **12**(1), pp. 343-353 (2020).
20. Ignatowicz, R. and Hotala, E. “Failure of cylindrical steel storage tank due to foundation settlements”, *Engineering Failure Analysis*, **115**, 104628 (2020).
21. Bohra, H. and Guzey, S. “Fitness-for-service of open-top storage tanks subjected to differential settlement”, *Engineering Structures*, **225**, pp.5, 111277 (2020).
22. Naseri, H. “Investigation on the geometrical and physical behavior of steel thin walled tanks under the effects of deformations from constructional local settlement”, *Ph.D thesis, Urmia, Urmia* (2021).